

## روابط تضعیف شدت زمین‌لرزه در ایران

علی سیاهکالی مرادی\*، نوربخش میرزایی\* و مهدی رضابور\*

\*موسسه ژئوفیزیک دانشگاه تهران، صندوق پستی ۶۴۴۶-۱۴۱۵۵

(دریافت مقاله: ۸۲/۶/۲۹، پذیرش مقاله: ۸۳/۴/۱۶)

## چکیده

به صورت تجربی، شدت زمین‌لرزه با انرژی آزاد شده مربوطه در کانون مرتبط است. از آن‌جا که انرژی با توجه به اصل گسترش هندسی با فاصله از رومرکز تضعیف می‌شود، می‌توان با استفاده از رابطه تجربی بین شدت زمین‌لرزه و انرژی آزاد شده، روابط مشابهی را برای تضعیف شدت زمین‌لرزه ارائه نمود.

قوانین تضعیف شدت زمین‌لرزه در ایران با استفاده از نقشه‌های هم‌شدت ۲۲ زمین‌لرزه با بیش از ۱۰۵ منحنی هم‌شدت مورد مطالعه قرار گرفت و روابط بین شدت زمین‌لرزه  $I$  و فاصله رومرکز  $R$  با استفاده از بزرگی مشخص  $M_s$  تعیین شد. با توجه به کشیدگی خطوط هم‌شدت در راستای گسل، روابط برای دو راستای امتداد گسل و عمود بر آن و نیز رابطه میانگین ارائه شده‌است که به ترتیب به صورت زیرند.

تضعیف شدت در امتداد گسل  $R_a < 200 \text{ km}$   $\sigma = 0.79$   $I_a = 11.564 + 0.943M_s - 2.508 \ln(R_a + 33)$

تضعیف شدت در راستای عمود بر گسل  $R_b < 140 \text{ km}$   $\sigma = 0.49$   $I_b = 9.469 + 0.717M_s - 2.121 \ln(R_b + 13)$

میانگین تضعیف شدت  $R < 167 \text{ km}$   $\sigma = 0.49$   $I = 11.926 + 0.831M_s - 2.7 \ln(R + 22)$

مقایسه مقادیر به‌دست آمده از این روابط، با روابط ارائه شده برای شرق و غرب چین، ناحیه سیسیل و کالابریا در جنوب ایتالیا، صرف‌نظر از ویژگی‌های متفاوت زمین‌ساختی آنها، نشان می‌دهد که تضعیف شدت در ایران کمی سریع‌تر از نواحی یاد شده است.

کلیدواژه‌ها: شدت زمین‌لرزه، رابطه تضعیف، فاصله رومرکز، منحنی هم‌شدت، ایران

## ۱ مقدمه

ایران به دلیل قرار گرفتن در منطقه زمین‌ساختی فعال، در طول تاریخ شاهد زلزله‌های ویرانگری بوده است که خسارات فراوان مالی و جانی به همراه داشته‌اند. این ویژگی، ما را برآن می‌دارد تا هر چه بیشتر در راستای شناخت این پدیده و کاهش خسارات ناشی از آن گام برداریم. شدت زمین‌لرزه پارامتری است که به‌طور مستقیم با خرابی ناشی از زمین‌لرزه مرتبط است و مقدار آن از برآورد اثرات ناشی از زمین‌لرزه روی سازه‌ها، انسان و طبیعت ارزیابی می‌شود. از شدت زمین‌لرزه در تحقیقات مختلفی مانند تخمین بزرگی زمین‌لرزه‌های تاریخی، برآورد خطر زمین‌لرزه و آسیب‌پذیری استفاده می‌شود. نیاز سازمان‌های امدادرسانی به آگاهی سریع از مناطق آسیب‌دیده از زمین‌لرزه سبب شده است که مطالعات گسترده‌ای در مورد ارتباط شدت زمین‌لرزه با دیگر مؤلفه‌های جنبش زمین که به صورت دستگاهی تعیین می‌شود، صورت پذیرد.

## ۲ تضعیف شدت

هاول و شولز (۱۹۷۵)، برای تعیین شدت در فواصل مختلف، برحسب مقیاس مرکالی، در مواقعی که بزرگی یا بیشینه شدت یک زمین‌لرزه، معلوم باشد، روابطی را ارائه کردند. روش آنها بر پایه میانگین‌گیری از داده‌های نقشه‌های هم‌شدت زمین‌لرزه‌ها استوار بود. آنها برای به دست آوردن شدت، از رابطه تضعیف کارنیک (۱۹۶۹)، به صورت زیر، استفاده کردند:

$$I = k_1 + k_2 \ln \Delta + k_3 \Delta \quad (1)$$

در این رابطه،  $k_1$ ،  $k_2$  و  $k_3$  ثابت‌اند. این معادله با فرض اینکه به‌طور تجربی در هر مکان، شدت با لگاریتم چگالی انرژی لرزه‌ای،  $E$ ، مطابق رابطه ۲ متناسب است، به‌دست آمده است.

$$I = k_4 + k_5 \ln E \quad (2)$$

کشیدگی خطوط هم شدت در راستای گسل توجه داشته‌اند (سازمان زلزله‌شناسی چین، ۱۹۹۱) و روابط تضعیف را برای دو راستا در جهت قطره‌های کوچک و بزرگ بیضی فرضی ارائه نموده‌اند.

در ایران نیز، چاندررا و همکاران (۱۹۷۹)، به کمک نقشه‌های هم‌شدت ۱۲ زمین‌لرزه از مناطق مختلف ایران، روابط ۸ تا ۱۰ را برای تضعیف شدت در ایران ارائه نمودند. آنها از رابطه  $I(R) = I_0 + a + bR + c \log(R + R_0)$  برای به دست آوردن رابطه تضعیف استفاده کرده‌اند که در آن  $R_0$ ، ثابتی انتخابی برای کم کردن خطا است. باید خاطر نشان کرد که در به دست آوردن روابط ۸ تا ۱۰ برای کم کردن انحراف معیار، تنها از ۹ زمین‌لرزه از ۱۲ زمین‌لرزه، استفاده شده است؛ در نتیجه، این روابط به دلیل استفاده از تعداد کم منحنی‌های هم‌شدت نمی‌توانند به خوبی تضعیف شدت زمین‌لرزه با فاصله رومرکزی، در ایران را ارائه دهند.

رابطه تضعیف میانگین

$$I(R) = I_0 + 6.453 - 0.00121R - 4.96 \log(R + 20) \quad (8)$$

$R < 120 \text{ km}$

رابطه تضعیف در راستای کشیدگی خطوط هم شدت

$$I(R) = I_0 + 4.824 - 0.00548R - 3.708 \log(R + 20) \quad (9)$$

$R < 160 \text{ km}$

رابطه تضعیف در راستای عمود بر کشیدگی خطوط هم شدت

$$I(R) = I_0 + 8.729 - 0.01158R - 6.709 \log(R + 20) \quad (10)$$

$R < 110 \text{ km}$

در این روابط،  $I(R)$ ، شدت زمین‌لرزه در فاصله  $R$ ، بر حسب کیلومتر از رومرکز زمین‌لرزه است. همان‌طور که از روابط مشخص است، کشیدگی و بیضوی شدن خطوط هم‌شدت در امتداد گسل مورد توجه قرار گرفته است.

### ۳ زمین‌لرزه‌های مورد مطالعه

در این مطالعه از ۲۲ زمین‌لرزه که در نواحی مختلف ایران رخ داده‌اند و نقشه خطوط هم شدت آنها موجود بوده

با توجه به رابطه کلاسیک افت انرژی (هاول و شولز، ۱۹۷۵):

$$E = (E_0/4\pi) \cdot \Delta^b e^{-c\Delta} \quad (3)$$

که در آن،  $E_0$  انرژی کل آزاد شده،  $b$  ثابت بیانگر اثر گسترش هندسی و  $c$  ثابت نشان دهنده نرخ جذب محیط است. با جای‌گذاری  $(1.5M_s - 1.5)$  به جای  $I_0$ ، بر اساس رابطه تجربی گوتنبرگ - ریشتر (۱۹۵۶)، رابطه ۴، ارتباط بین بزرگی  $M_s$  و شدت  $I_0$  بر حسب مرکالی اصلاح شده را نشان می‌دهد،

$$M_s = 1 + \frac{2}{3} I_0 \quad (4)$$

می‌توان رابطه زیر را به دست آورد.

$$I = (1.5M_s - 1.5) + a_1 - b_1 \ln \Delta - c_1 \Delta \quad (5)$$

با توجه به این رابطه، می‌توان معادلاتی برای تضعیف شدت زمین‌لرزه با استفاده از بزرگی آن ارائه نمود که به صورت آکلی زیر خواهند بود:

$$I = a + bM_s - c \ln \Delta - d \Delta \quad (6)$$

در این رابطه ضریب  $d$ ، نشان‌دهنده نرخ جذب و  $c$ ، نشان دهنده اثر گسترش هندسی است. به کمک این معادله روابط تضعیف شدت با فاصله از کانون و یا فاصله از رومرکز زمین‌لرزه برای مناطق مختلف دنیا به دست آمده است. لازم به ذکر است که معمولاً در تعیین روابط تضعیف شدت، از نرخ جذب که عدد کوچکی است چشم‌پوشی می‌شود.

در سال ۱۹۹۱ روابطی برای تضعیف شدت در چین بر اساس رابطه ۷ که همانند رابطه بالا است ارائه شد، که در آن از نرخ جذب چشم‌پوشی شده است.

$$I = a_0 + a_1 M_s + a_2 \ln(R + R_0) \quad (7)$$

در این رابطه  $I$  شدت زمین‌لرزه،  $M_s$  بزرگی زمین‌لرزه بر حسب بزرگی امواج سطحی و  $R$  فاصله از رومرکز است. در این رابطه  $a_0$ ،  $a_1$  و  $a_2$  ضرایب ثابتی هستند و  $R_0$  ثابتی برای بهتر کردن انطباق رابطه با داده‌ها است. چینی‌ها به

استفاده شده است. مشخصات زمین‌لرزه‌های مورد استفاده در جدول ۱ ارائه شده است. گرفتند که رومرکز آنها در شکل ۱، نشان داده شده است. نقشه‌های هم‌شدت این زمین‌لرزه‌ها رقومی شد، سپس

جدول ۱. زمین‌لرزه‌های مورد مطالعه ( پارامترهای زمین‌لرزه‌ها بر اساس میرزایی و همکاران، ۱۳۸۱)

Name	Date y m d	Time h m s	Lat. (N°)	Lon. (E°)	h (km)	Magnitude		
						$m_b$	$M_s$	$M_w$
Salmas	1930.05.06	2234	38.25	44.60		7.2	7.2	
Baharestan	1939.06.10	83641	33.50	56.50			5.4	
Troud	1953.02.12	815	35.39	55.08	10	6.9	6.5	
Sangchal	1957.07.02	042	36.07	52.47		7	6.8	
Farsinaj	1957.12.13	145	34.58	47.82		6.5	6.7	
Nahavand	1958.08.16	1913	34.30	48.17		6.2	6.6	
Lar	1960.04.24	1214	27.70	54.29		6	5.8	
Buyin-Zahra	1962.09.01	1920	35.71	49.81		6.9	7.2	
Torbate-Heydarieh	1962.10.05	200227	35.10	58.72	33	5	4.7*	
Karkhanch	1963.03.24	124400	34.50	48.02	10	5.3	5.8	
Maku	1968.04.29	170155	39.28	44.27	17	5.3	5.5	
Dasht-e-Bayaz	1968.08.31	104737	34.02	58.96	13	6	7.3	
Qarnaveh	1970.07.30	5219	37.67	55.89	19	5.7	6.6	
Qir	1972.04.10	20653	28.38	52.98	33	6.1	6.9	
Khurgu	1977.03.21	211854	27.59	56.45	29	6.9	6.9	6.7
Naghan	1977.04.06	133637	31.90	50.76	41	5.5	6.6	6
Bob-tangol	1977.12.19	233434	30.90	56.61	31	5.4	5.8	5.9
Tabas	1978.09.16	153556	33.40	57.12	34	6.4	7.4	7.4
Sirch	1981.07.28	172222	29.98	57.77	11	5.9	7	7.2
Rudbar	1990.06.20	210011	36.99	49.35	19	6.2	7.4	7.4
Garmkhan	1997.02.04	103751	37.74	57.29	35	5.8	6.6	6.5
Qaen	1997.05.10	75729	33.88	59.82	6	6.2	7	7.2

\* بزرگی بر اساس رابطه  $5.28 M_s = 2.0 m_b - 5.28$  (میرزایی و همکاران، ۱۹۹۷) به دست آمده است.

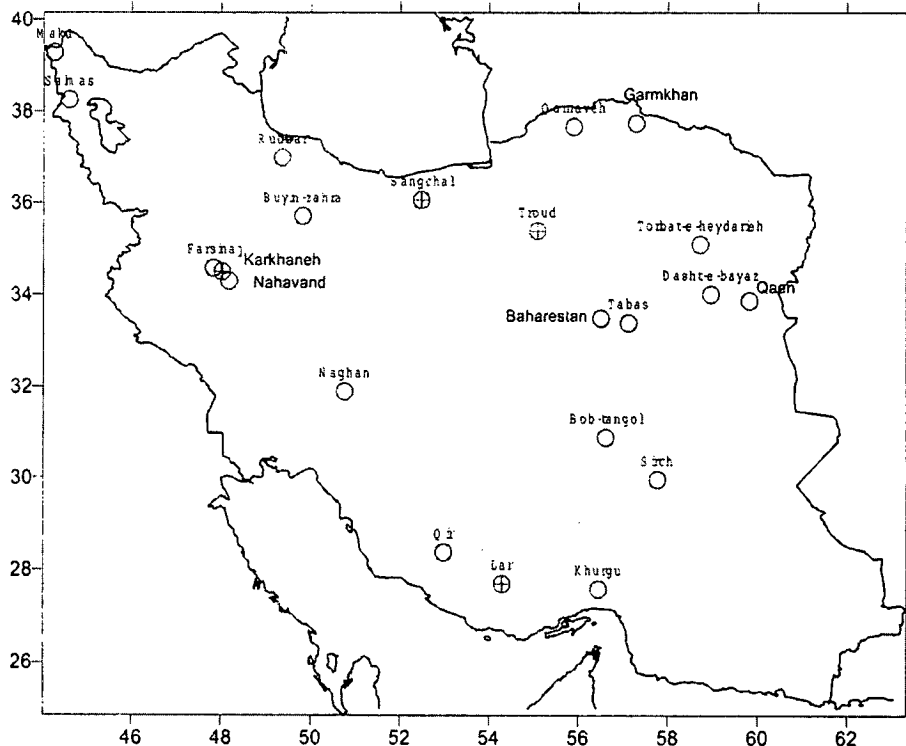
قرار مساحت‌های محصور در هر منحنی هم‌شدت محاسبه شد و از روی آن شعاع معادل R برای نواحی محصور با خطوط هم‌شدت به دست آمد. برای ارائه رابطه تضعیف شدت زمین‌لرزه، رابطه  $V$  که در ایتالیا و چین نیز مورد استفاده قرار گرفته است، مناسب‌تر دیده شد. یکی از مزایای استفاده از این رابطه نبود نیاز به مقدار شدت در رومرکز،  $h_0$  است؛ زیرا، در بسیاری از زمین‌لرزه‌ها مقدار

بزرگی زمین‌لرزه‌های مورد استفاده بین  $4/7$  و  $7/4$  برحسب امواج سطحی است. اولین زمین‌لرزه مورد استفاده، زمین‌لرزه ۶ مه ۱۹۳۰ سلماس با بزرگی  $M_s=7/2$  و آخرین آنها، زمین‌لرزه ۱۰ مه ۱۹۹۷ قائن با بزرگی  $M_s=7$  است.

#### ۴ روش کار

به منظور تعیین رابطه تضعیف شدت برای زمین‌لرزه‌ها در ایران، ۲۲ زمین‌لرزه ذکر شده در جدول ۱ مورد تحلیل

آن مشخص نیست و هرگونه انتخاب  $I_0$  که با استفاده از روابط تجربی و یا برون‌یابی از روی نمودار شدت-فاصله در این روابط آشدت زمین‌لرزه بر حسب مقیاس مرکالی اصلاح شده،  $M_S$  بزرگی زمین‌لرزه بر حسب امواج



شکل ۱. نقشه پراکندگی رومرکز زمین‌لرزه‌های مورد استفاده برای تعیین روابط تضعیف شدت در ایران.  $\odot$  زمین‌لرزه‌هایی که در محاسبات وارد نشده‌اند.

$(M_S)$  و  $R$  فاصله از رومرکز زمین‌لرزه است. از آن‌جا که خطوط هم‌شدت در راستای گسل مسبب زمین‌لرزه دچار کشیدگی می‌شوند، می‌توان خطوط هم‌شدت را، بیضی وار تصور نمود. در نتیجه، رابطه  $V$  را باید به‌طور جداگانه برای قطر بزرگ بیضی (راستای گسل) و قطر کوچک بیضی (راستای عمود بر گسل) به کار بریم و برای هر قطر بیضی یک رابطه تضعیف ارائه دهیم. برای این کار ابتدا قطرهای بزرگ و کوچک بیضی معادل برای هر خط هم‌شدت، محاسبه شد. نیم قطرهای مربوط به ترتیب با  $R_B$  و  $R_A$  مشخص شده‌است. در این صورت  $R_B$  نشان‌دهنده فاصله نقاط با شدت  $I$  در راستای محور اصلی همان راستای گسل نیز هست، و  $R_B$  در راستای عمود بر آن واقع است. به کمک داده‌های مربوط و روش کم‌ترین مربع‌ها روابط

سطحی برای این زمین‌لرزه‌ها صورت پذیرد، با خطای قابل ملاحظه‌ای همراه خواهد بود. ضرایب،  $\alpha_0$ ،  $\alpha_1$  و  $\alpha_2$  در رابطه تضعیف به کمک روش کم‌ترین مربع‌ها، محاسبه شد. در مراحل پردازش، زمین‌لرزه‌های سنگجال، کارخانه و لار به دلیل ایجاد خطای زیاد، کنار گذاشته شدند و زمین‌لرزه تروود نیز به دلیل غیرواقعی به نظر آمدن مقادیر شدت ارائه شده، حذف شد. بنابراین، عملاً ۱۸ زمین‌لرزه در تعیین رابطه تضعیف شدت مورد استفاده قرار گرفت. رابطه میانگین به دست آمده برای ایران بر اساس نقشه‌های هم‌شدت زمین‌لرزه‌های ذکر شده به صورت زیر است.

$$I = 11.926 + 0.831M_S - 2.7 \ln(R + 22) \quad (11)$$

$$\sigma = 0.49, \quad R < 167 \text{ km}$$

$$I_a = 13.784 + 2.103M_s - 4.99Ln(R_a + 25) \quad (14)$$

$$\sigma = 0.22$$

$$I_b = 7.528 + 0.879M_s - 2.033Ln(R_b + 8) \quad (15)$$

$$\sigma = 0.26$$

$$I = 9.271 + 1.211M_s - 2.851Ln(R + 14) \quad (16)$$

$$\sigma = 0.20$$

اما این روابط با وجود انحراف معیار کم نمی‌توانند روابط مناسبی برای تضعیف شدت در ایران باشند، زیرا دلیل کاهش انحراف معیار در این روابط، میانگین‌گیری و پیرو آن کاهش داده‌ها در عملیات تعیین ضرایب است. هم‌چنین میانگین‌گیری کردن سبب کاهش فاصله‌ای می‌شود که رابطه تضعیف در آن صادق است.

با توجه به این دو کاستی روابط ۱۴ تا ۱۶، روابط ۱۱ تا ۱۳ برای بیان تضعیف شدت در ایران مناسب‌ترند.

#### ۵ مقایسه روابط ارائه شده برای تضعیف شدت زمین‌لرزه در ایران

همان‌طور که ذکر شد چاندرا و همکاران (۱۹۷۹) روابط ۸ تا ۱۰ را برای تضعیف شدت در ایران ارائه کردند. برای مقایسه روابط حاصل از این مطالعه، روابط ۱۱ تا ۱۳، با روابط ۸ تا ۱۰، منحنی‌های مربوط به کاهش شدت ( $I-I_0$ ) با فاصله از رومرکز در شکل ۲ آمده است. همان‌طور که مشاهده می‌شود با توجه به شکل ۲ برای تضعیف شدت در راستای گسل تا فاصله ۳۰ کیلومتر از رومرکز، رابطه به‌دست آمده در این پژوهش، کاهش کمتر؛ بین ۳۰ تا ۴۸ کیلومتر کاهش یکسان و بیش از ۴۸ کیلومتر کاهش بیشتری را نسبت به رابطه‌های قبلی نشان می‌دهد. برای تضعیف در راستای عمود بر گسل و همچنین برای تضعیف میانگین با توجه به شکل ۲ مشاهده می‌شود که روابط جدید تضعیف بیشتری با فاصله از رومرکز را نمایش می‌دهند که بیانگر کشیدگی بیشتر منحنی‌های هم‌شدت در راستای گسل است.

۱۲ و ۱۳ برای تضعیف شدت زمین‌لرزه در ایران به‌دست آمده است. رابطه ۱۲، نشان‌دهنده تضعیف شدت زمین‌لرزه با فاصله در جهت قطر بزرگ بیضی، یا همان راستای گسل زمین‌لرزه‌ای، و رابطه ۱۳، نشان‌دهنده تضعیف شدت زمین‌لرزه با فاصله در جهت قطر کوچک بیضی، یعنی عمود بر راستای گسل زمین‌لرزه‌ای است.

$$I_a = 11.564 + 0.943M_s - 2.508Ln(R_a + 33) \quad (12)$$

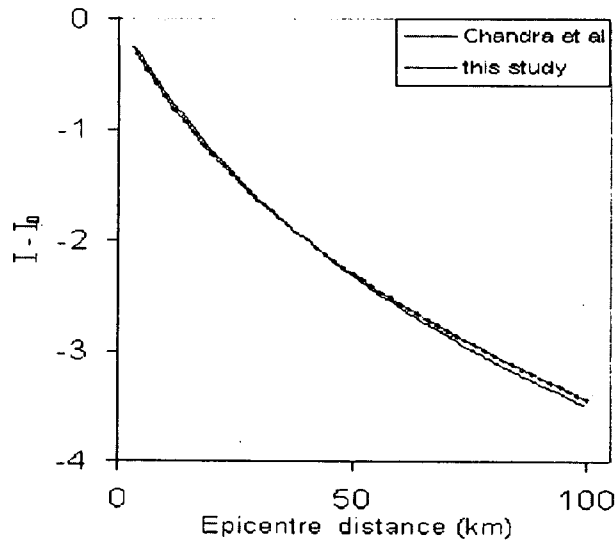
$$\sigma = 0.79, \quad R_a < 200\text{km}$$

$$I_b = 9.469 + 0.717M_s - 2.121Ln(R_b + 13) \quad (13)$$

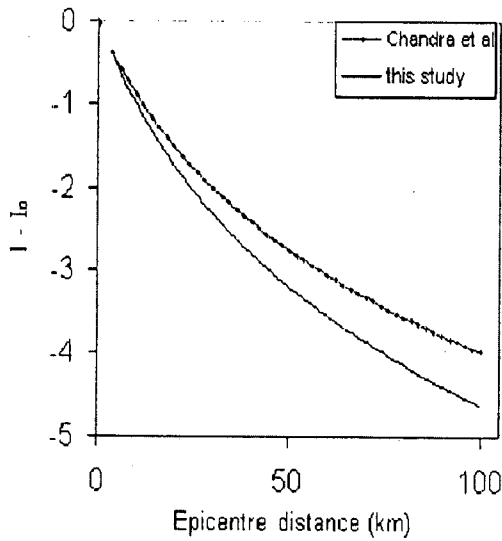
$$\sigma = 0.49, \quad R_b < 140\text{km}$$

به نظر می‌رسد، این روابط با توجه به انحراف معیار پایین نسبت به روابط موجود در مناطق مختلف، از دقت قابل قبول برخوردار هستند. توجه به این نکته ضروری است که انحراف معیار برای کارهای مشابه در نقاط مختلف دنیا برای چنین روابطی گاهی به ۱/۱۷۵ نیز می‌رسد (مایوگری، ۱۹۹۳). امروزه برای کاهش انحراف معیار از فنون مختلفی استفاده می‌کنند، یکی از این فنون که برای داده‌های با پراکندگی زیاد مورد استفاده قرار می‌گیرد (مثلاً مایوگری و همکاران، ۱۹۹۳؛ لی و کیم، ۲۰۰۲) این است که ابتدا زلزله‌ها را به ترتیب شدت مرتب می‌کنند، از داده‌های مربوط به زلزله‌هایی که دارای  $I_1$  (اولین خط هم شدت مرکزی رسم شده) یکسان هستند میانگین‌گیری می‌کنند. پس از این مرحله، چند دسته داده ایجاد می‌شود که هر دسته مربوط به زمین‌لرزه‌هایی با  $I_1$  یکسان است. با به‌کارگیری این روش رابطه تضعیف شدت زمین‌لرزه برای ایران به صورت روابط ۱۴، ۱۵ و ۱۶ خواهد بود.

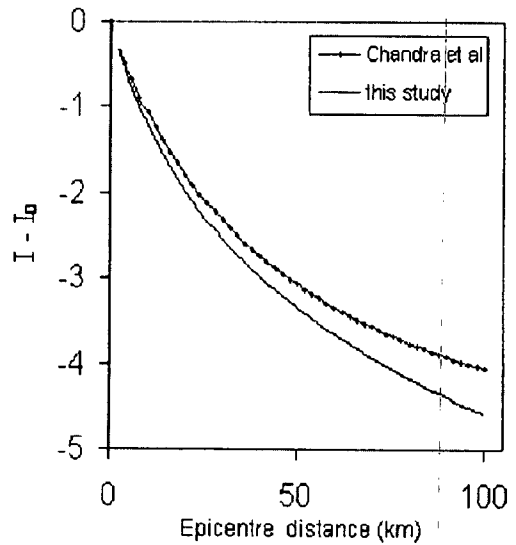
روابط ۱۴ و ۱۵ به ترتیب برای تضعیف شدت در راستای قطرهای بزرگ و کوچک بیضی که همان راستاهای گسل و عمود بر گسل هستند و رابطه ۱۶، رابطه تضعیف میانگین برای کل ایران است.



(الف)



(ج)



(ب)

شکل ۴. منحنی‌های تضعیف شدت زمین‌لرزه ( $I-I_0$ ) در ایران، بر حسب فاصله از رومرکز. (الف) در راستای قطر بزرگ، (ب) در امتداد قطر کوچک، (ج) تضعیف میانگین با توجه به روابط ۱۱ الی ۱۳ و روابط چاندرا و همکاران (۱۹۷۹).

$\sigma=0.49$

در امتداد قطر کوچک:

$$I = 2.617 + 1.435M_s - 1.441 \ln(R + 7) \quad (18)$$

$\sigma=0.56$

برای غرب چین (سازمان زلزله‌شناسی چین، ۱۹۹۱):

در امتداد قطر بزرگ:

۶ مقایسه روابط به دست آمده با دیگر مناطق دنیا

روابطی مشابه رابطه‌های ۱۱ تا ۱۳ برای شرق و غرب چین

و جنوب ایتالیا ارائه شده است.

برای شرق چین (سازمان زلزله‌شناسی چین، ۱۹۹۱):

در امتداد قطر بزرگ:

$$I = 6.046 + 1.480M_s - 2.081 \ln(R + 25) \quad (17)$$

$$I = 5.724 + 1.619M_s - 2.129\ln(R + 15) \quad (22)$$

$$\sigma = 0.916$$

در امتداد قطر کوچک:

$$I = 1.796 + 1.617M_s - 1.286\ln(R + 4) \quad (23)$$

$$\sigma = 0.914$$

به کمک این روابط در شکل های ۳ تا ۵ منحنی های شدت زمین لرزه بر حسب فاصله برای مناطق یاد شده صرف نظر از ویژگی های زمین ساختی متفاوتشان با ایران، برای مقایسه ارائه شده است.

$$I = 5.643 + 1.538M_s - 2.109\ln(R + 25) \quad (19)$$

$$\sigma = 0.64$$

در امتداد قطر کوچک:

$$I = 2.941 + 1.363M_s - 1.494\ln(R + 7) \quad (20)$$

$$\sigma = 0.61$$

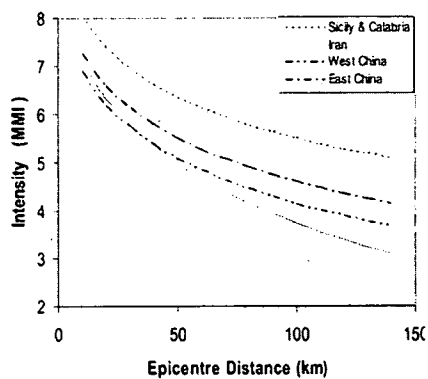
برای ناحیه سیسیل و کالابریا در جنوب ایتالیا ( مایوگری و همکاران، ۱۹۹۳):

تضعیف میانگین:

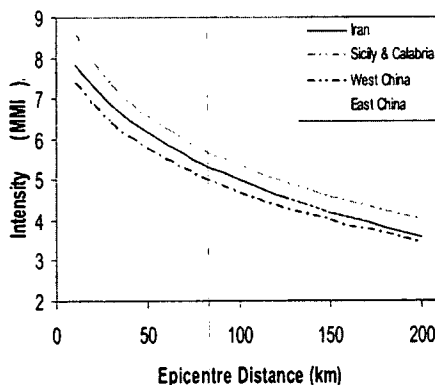
$$I = 4.988 + 1.609M_s - 2.005\ln(R + 13) \quad (21)$$

$$\sigma = 0.908$$

در امتداد قطر بزرگ:

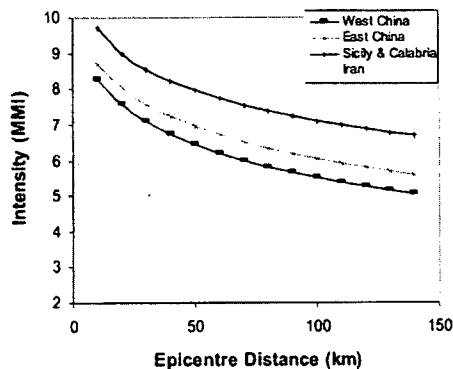


(ب)

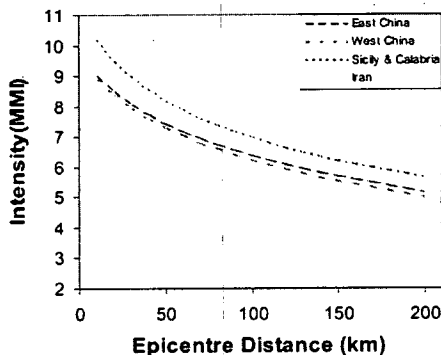


(الف)

شکل ۳. شدت زمین لرزه بر حسب فاصله از رومرکز برای  $M_s = 7.0$ : الف) در راستای قطر بزرگ، ب) در امتداد قطر کوچک.

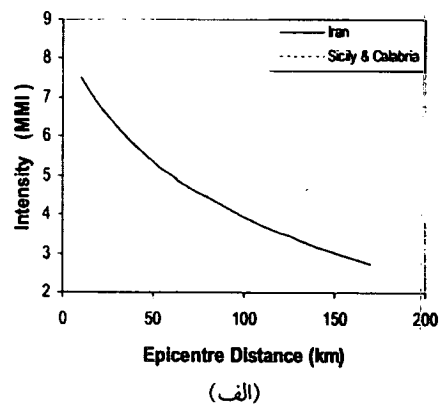
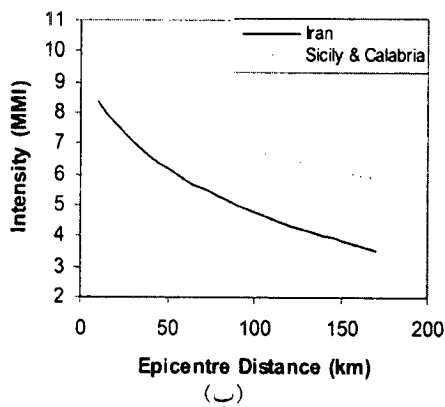


(ب)



(الف)

شکل ۴. شدت زمین لرزه بر حسب فاصله از رومرکز برای  $M_s = 7.0$ : الف) در راستای قطر بزرگ، ب) در امتداد قطر کوچک.



شکل ۵. شدت زمین‌لرزه بر حسب فاصله از رومرکز در تضعیف میانگین: الف) برای  $M_s = 7.0$ ، ب) برای  $M_s = 7.0$ .

مطابق روابط به دست آمده، صرف نظر از جایگاه‌های متفاوت زمین‌ساختی، تضعیف شدت در ایران کمی سریع‌تر از تضعیف شدت در شرق و غرب چین، هم‌چنین سریع‌تر از ناحیه سیسیل و کالابریا در ایتالیا است.

#### تشکر و قدردانی

از موسسه ژئوفیزیک دانشگاه تهران به‌خاطر فراهم آوردن امکانات به انجام رساندن این تحقیق، تشکر و قدردانی می‌کنیم.

#### منابع

- پرهیزکار، ط.، روحانی، م.، رزاقی آذر، ن.، فرزانتگان، ا.، ماجدی اردکانی، م.، مجیدزمانی، س.، میرزایی علویجه، ح. و نیری، ع.، ۱۳۸۱، گزارش مقدماتی - فوری زمین‌لرزه چنگوره - آوج (اول تیر ۱۳۸۱)، مرکز تحقیقات ساختمان و مسکن.
- رمضی، ح.، نیری، ع.، خادمی، م.، یشیری، ف. و فرزانتگان، ا.، ۱۳۷۵، گزارش مقدماتی - فوری زمین‌لرزه ۱۶ بهمن ۱۳۷۵ گرمخان (شمال بجنورد)، مرکز تحقیقات ساختمان و مسکن. نشریه شماره ۲۴۰.
- میرزایی، ن.، قیطانچی، م.، ناصریه، س.، رئیسی، م.، ظریفی، ز. و طبائی، ق.، ۱۳۸۱، پارامترهای مبنایی زمین‌لرزه‌های ایران، انتشارات دانش‌نگار، تهران.

همان‌طور که در شکل‌های ۳ تا ۵ مشاهده می‌شود روند تضعیف شدت با فاصله از رومرکز برای ایران سریع‌تر از دیگر مناطق ذکر شده، صرف نظر از جایگاه‌های متفاوت زمین‌ساختی است.

#### ۷ نتیجه‌گیری

با توجه به خطوط هم‌شدت ارائه شده برای ۲۲ زمین‌لرزه در ایران و با توجه به کشیدگی خطوط هم‌شدت در راستای آگسل‌های مسبب زمین‌لرزه، روابط زیر، برای تضعیف شدت زمین‌لرزه در ایران ارائه می‌شود:

#### تضعیف در راستای گسل

$$I_a = 11.564 + 0.943M_s - 2.508 \ln(R_a + 3\beta)$$

$$\sigma = 0.79, \quad R_a < 200 \text{ km}$$

#### تضعیف در راستای عمود بر گسل

$$I_b = 9.469 + 0.717M_s - 2.121 \ln(R_b + 13)$$

$$\sigma = 0.49, \quad R_b < 140 \text{ km}$$

#### تضعیف میانگین

$$I = 11.926 + 0.831M_s - 2.7 \ln(R + 22)$$

$$\sigma = 0.49, \quad R < 167 \text{ km}$$

که در آنها،  $R$  فاصله از رومرکز،  $R_a$  فاصله از رومرکز در امتداد گسل و  $R_b$ ، فاصله از رومرکز در راستای عمود بر گسل است.

- Chandra, U., McWhorted, J. G. and Nowroozi, A. A., 1979, Attenuation of intensities in Iran: *Bull. Seism. Soc. Am.*, **69**, 237-250.
- Gutenberg, B., and Richter, C. F., 1956, Earthquake magnitude, intensity, energy, and acceleration (second paper): *Bull. Seism. Soc. Am.*, **46**, 105-145.
- Howell, B. F., and Schultz, T. R., 1975, Attenuation of modified mercalli intensity with distance from the epicenter: *Bull. Seism. Soc. Am.*, **65**, 651-665.
- Lee, K., and Kim, J. K., 2002, Intensity attenuation in sino-korean craton: *Bull. Seism. Soc. Am.*, **92**, 783-793.
- Maugeri, M., Motta, E. and Zeng, X., 1993, Attenuation laws of seismic intensity in the regions of sicily and Calabria: *Soil Dyn. Earthq. Eng.*, **12**, 25-35.
- Mirzaei, N., Gao, M., Chen, Y. T. and Wang, J., 1997, A uniform catalog of earthquakes for seismic hazard assessment in Iran: *Acta Seismological Sinica*, **10**, 713-726.
- State seismological Bureau., 1991, Explanation of seismic Intensity zoning map of China., Seismological Press. 21 pp.